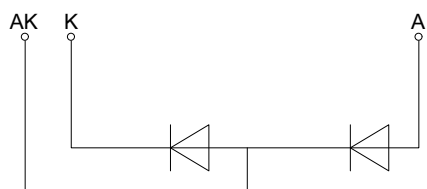
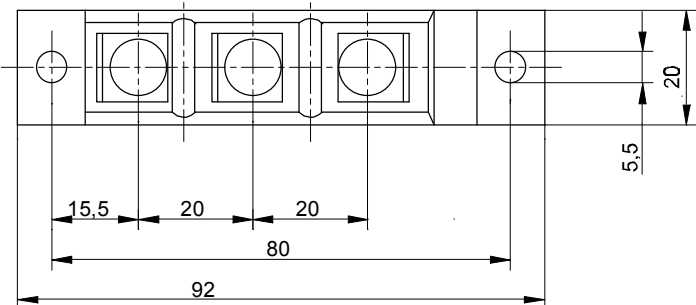
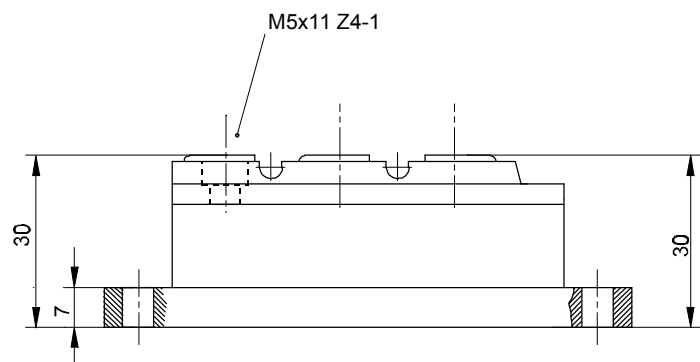


European Power-  
Semiconductor and  
Electronics Company  
GmbH + Co. KG

## Marketing Information DD 81 S



Elektrische Eigenschaften		Electrical properties		
Höchstzulässige Werte		Maximum rated values		
Periodische Spitzensperrspannung	repetitive peak reverse voltage	$t_{vj} = -40^{\circ}\text{C} \dots t_{vj\ max}$	$V_{RRM}$	1000 1200 1400 V
Stoßspitzenspannung	non-repetitive peak reverse voltage	$t_{vj} = +25^{\circ}\text{C} \dots t_{vj\ max}$	$V_{RSM} = V_{RRM}$	1000 1200 1400 V
Durchlaßstrom-Grenzeffektivwert	RMS forward current		$I_{FRMSM}$	150 A
Dauergrenzstrom	average forward current	$t_c = 100^{\circ}\text{C}$ $t_c = 88^{\circ}\text{C}$	$I_{FAVM}$	81 A 96 A
Stoßstrom-Grenzwert	surge current	$t_{vj} \leq 45^{\circ}\text{C}, t_p = 10 \text{ ms}$ $t_{vj} \leq 150^{\circ}\text{C}, t_p = 10 \text{ ms}$	$I_{FSM}$	2300 A 1900 A
Grenzlastintegral	$\int i^2 t \text{ value}$	$t_{vj} \leq 45^{\circ}\text{C}, t_p = 10 \text{ ms}$ $t_{vj} \leq 150^{\circ}\text{C}, t_p = 10 \text{ ms}$	$\int i^2 t$	26450 A <sup>2</sup> s 18050 A <sup>2</sup> s
Charakteristische Werte		Characteristic values		
Durchlaßspannung	forward voltage	$t_{vj} = 150^{\circ}\text{C}, i_F = 300 \text{ A}$	$V_F$	max. 1,55 V
Schleusenspannung	threshold voltage		$V_{(TO)}$	1,0 V
Ersatzwiderstand	slope resistance		$r_T$	1,7 mΩ
Sperrstrom	reverse current	$t_{vj} = 150^{\circ}\text{C}, v_R = V_{RRM}$	$i_R$	40 mA
Nachlaufladung	lag charge	$i_{FM} = 120 \text{ A}, -di_F/dt = 100 \text{ A}/\mu\text{s}$	$Q_S$	46 μAs
Isolations-Prüfspannung	insulation test voltage	RMS, f = 50 Hz, t = 1 min.	$V_{ISOL}$	2,5 kV
Thermische Eigenschaften		Thermal properties		
Innerer Wärmewiderstand	thermal resistance, junction to case	$\Theta = 180^{\circ}\text{el. sin: pro Modul/per module}$ pro Zweig/per arm DC: pro Modul/per module pro Zweig/per arm	$R_{thJC}$	0,235 °C/W 0,47 °C/W 0,240 °C/W 0,480 °C/W
Übergangs-Wärmewiderstand	thermal resistance, case to heatsink	pro Modul/per module pro Zweig/per arm	$R_{thCK}$	0,08 °C/W 0,16 °C/W
Höchstzul. Sperrsichttemperatur	max. junction temperature		$t_{vj\ max}$	150 °C
Betriebstemperatur	operating temperature		$t_{c\ op}$	-40...+150 °C
Lagertemperatur	storage temperature		$t_{stg}$	-40...+150 °C
Mechanische Eigenschaften		Mechanical properties		
Innere Isolation	internal insulation			AlN
Anzugsdrehmomente	tightening torques			
mechanische Befestigung	mounting torque	Toleranz/tolerance +/- 15%	M1	4 Nm
elektrische Anschlüsse	terminal connection torque	Toleranz/tolerance +5%/-10%	M2	4 Nm
Gewicht	weight		G	typ. 200 g
Kriechstrecke	creepage distance			14 mm
Schwingfestigkeit	vibration resistance	f = 50 Hz		5 · 9,81 m/s <sup>2</sup>

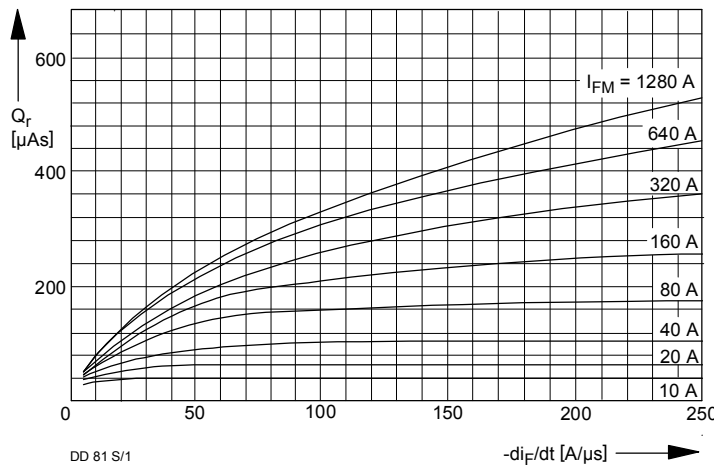


Bild / Fig. 1

Sperrverzögerungsladung  $Q_r = f(-di/dt)$ ,  $t_{vj} = t_{vj}(\max)$ ,  $v_R \leq 0,5 V_{RRM}$ ,  $v_{RM} = 0,8 V_{RRM}$  /  
Recovered charge  $Q_r = f(-di/dt)$ ,  $t_{vj} = t_{vj}(\max)$ ,  $v_R \leq 0,5 V_{RRM}$ ,  $v_{RM} = 0,8 V_{RRM}$   
Parameter: Durchlaßstrom / On-state current  $I_{FM}$

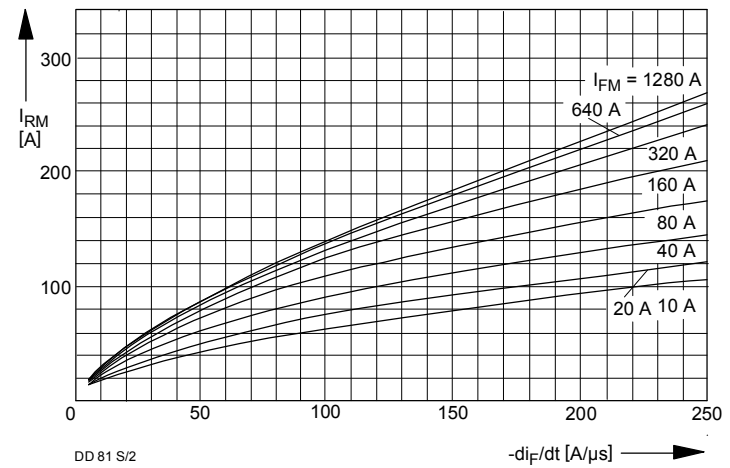


Bild / Fig. 2

Rückstromspitze  $I_{RM} = f(-di/dt)$ ,  $t_{vj} = t_{vj}(\max)$ ,  $v_R \leq 0,5 V_{RRM}$ ;  $v_{RM} = 0,8 V_{RRM}$ ,  $v_{RM} = 0,8 V_{RRM}$   
Parameter: Durchlaßstrom / On-state current  $I_{TM}$

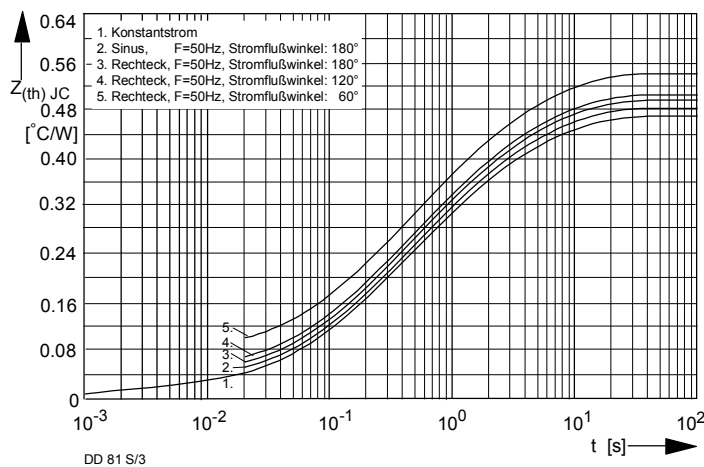


Bild / Fig. 3

Transienter innerer Wärmewiderstand  $Z_{thJC}$  für einen Zweig bei sinus- und trapezförmigem Stromverlauf  
Transient thermal impedance  $Z_{thJC}$ , junction to case per arm at sinusoidal and trapezoidal waveform.

Analytische Elemente des transistenten Wärmewiderstandes  $Z_{thJC}$  pro Zweig für DC  
Analytical elements of transient thermal impedance  $Z_{thJC}$  per arm for DC

Pos. n	1	2	3	4	5	6	7
$R_{thn} [\text{°C}/\text{W}]$	0,0102	0,0329	0,0805	0,0741	0,072		
$\tau_n [\text{s}]$	0,00112	0,0175	0,322	1,21	7,5		

Analytische Funktion / Analytical function:

$$Z_{thJC} = \sum_{n=1}^{n_{\max}} R_{thn} (1 - e^{-\frac{t}{\tau_n}})$$